

論 文

우리나라 실정에 알맞는 위성통신 시스템에 관한 연구

正會員 姜 榮 興* 準會員 趙 誠 彥** 正會員 高 凤 震*

正會員 趙 成 俊** 正會員 金 元 厚*

A Study on the Satellite Communication System Suitable for Korea

Young Heung KANG*, Sung Eon CHO**, Bong Jin KO*, Sung Joon CHO**
Won Hoo KIM* *Regular Members*

要 約 우리나라가 위성통신을 도입함에 있어 대처해야 할 것 중의 하나가 있을 수도 있는 방해신호(Jamming)의 영향이다. 따라서 본 논문에서는 Jamming으로부터 영향을 받는 위성통신 시스템의 신호특성과, Jamming을 배제하기 위한 방법의 하나로서 우리나라 이용되는 직접 주파수 퍼시방식(DS : Direct Sequence)을 채용했을 때의 신호 특성을 규명했다. 신호로서는 현재 세계적으로 이용되고 있는 MPSK(M ary PSK) 신호를 채택하고 위성통신 시스템 모델로서는, 저상으로부터 위상으로의 업링크(Uplink) 상에는 Tone Jamming 또는 Noise Jamming과 가우스잡음이 존재하고, 위상으로부터 저상으로의 다운링크(Downlink)에는 가우스 잡음만이 존재하는 환경에서 하트리비터형 비선형 위성중계기를assum었다. 이와 같은 환경 하에서 MPSK(M ary PSK) 신호의 오류율을 줄도록하여 BPSK($M=2$)와 QPSK($M=4$) 신호에 대한 오류율 성능을 주지 계산한 후 DS BPSK의 오류율과 비교, 검토하였다. 검토 결과 비선형 위성통신 시스템에서는 Tone Jamming보다는 Noise Jamming에 의한 성능 열화가 매우 크다는 것을 알 수 있었다. 또 기존의 BPSK 시스템에서는 반송파 대 Jamming 간섭비를 증가시키는 것보다는 DS BPSK 방식을 도입하여 차리아들을 늘리는 것이 Tone Jamming의 영향을 크게 줄일 수 있음을 알 수 있었다.

ABSTRACT Upon introducing satellite communication system to Korea, one of the important problems to cope with is the effect from the probable intentional interference i.e. jamming.

In this paper we have investigated how much the performance of ordinary PSK signal and Directed Sequence Spread Spectrum PSK signal degrade by the effect of jamming in the satellite communication system.

In analysis we have consider the M-ary PSK signal and the limiter type nonlinear satellite transponder in an environment of uplink tone or noise jamming plus Gaussian noise and downlink Gaussian noise.

Using the derived error rate equation we have evaluated the error performance of BPSK and QPSK systems and compared this with that of DS-BPSK system. From the results, we know that the nonlinear satellite system is degraded more severely by the effect of noise jamming than tone jamming, and the effect of tone jamming on the error rate performance can be reduced more remarkably by increasing the process gain in DS-BPSK system rather than increasing carrier to jamming noise power ratio in conventional BPSK system.

I 서 론

*韓國航空大學 航空電子工學科

Dept. of Avionics Eng., Hankuk Aviation University

**韓國航空大學 航空通信情報工學科

Dept. of Telecom. and Infor. Eng., Hankuk Aviation University

論文番號: 90-88 (接受 1990. 9. 26)

그간 통신 수요의 증대에 대처하기 위해 위성통신 시스템으로 여러 디지털 변조방식에 대한 연구가 수행되어 왔다. 그중에서 일정진폭의 변조 방식인 위상변조(PSK)방식 및 주파수

변조(FSK)방식이 주로 고려되어 왔는데 특히 위상변조 방식은 신호의 전송대역 효율이 좋고 전송효율이 우수하기 때문에 많이 사용되고 있는 실정이다.

위성통신 시스템을 효율적으로 실현하는데에는 여러가지 복잡한 문제가 있다. 예를들면, 주파수 대가 제한되어있는데다 고밀집 사용으로 인한 전송회선상에서 혼입되는 외부간섭 신호의 영향으로 통신의 품질이 크게 열화되는 경우가 있는데 이에는 통신채널간의 신호간섭과 의도적인 간섭의 영향이 있다.

위성통신은 통신위성내의 중계기를 거치게 되므로 위성중계기의 비선형성(Nonlinearity)의 영향을 받게된다. 따라서 위성통신에서는 위성중계기의 비선형성을 고려한 간섭문제에 대한 연구의 필요성이 요구되고 있다. 특히, 우리나라와 같이 북한과 대치하고있는 상황에서는 위성통신 시스템을 도입함에 있어서 대처해야 할 것중의 하나가 있을 수도 있는 북한의 의도적인 방해신호(Jamming)에 대한 영향이다. 따라서 본 논문에서는 이러한 Jamming이 위성통신 신호에 미치는 영향을 해석하고 이러한 영향에 대한 대비책으로 스펙트럼화산(Spread Spectrum)통신방식의 도입에 관해 다루고자 한다.

Jamming 환경하에서, 스펙트럼화산통신방식을 도입한 BPSK(DS-BPSK) 방식에 대한 연구의 일부가 이미 저자중의 한사람에 의해 발표된 바가 있다.⁽¹⁾⁽²⁾

본 연구에서는 위성 중계기 모델로서는 하드리미터(Hard limiter)⁽³⁾⁽⁴⁾를 채택하여 업링크(Uplink)에는 간섭파로서 Tone Jamming 또는 Noise Jamming이 존재하고⁽⁵⁾⁻⁽⁷⁾, 다운링크(Downlink)에는 가우스 잡음만이 존재할 경우를 가정하여 MPSK신호의 오율특성을 나타내는식을 유도하여 먼저 BPSK($M=2$)와 QPSK($M=4$) 방식의 오율특성에 미치는 Tone Jamming과 Noise Jamming의 영향을 수치계산하고, BPSK방식에 대한 수치계산한 결과를 문헌[1],[2]의 DS-BPSK 신호의 오율특성과 비교검토하여 DS방식의 도입으로 어느만큼 오율특성이 개선되는가를 구명하고자 한다.

II. 위성통신계의 모델

하드리미터(Hard limiter)형 중계기를 채용한 위성통신시스템을 그림 1에 나타낸다. 중계기 입력은 대역통과 필터(BPF)를 거쳐 반송파 주파수 근방의 성분만 통과된다. 이 신호는 리미터를 통과함에 있어 통상 비선형 왜곡을 받아 다수의 고주파 성분이 포함된다. 그러나 리미터 후단의 대역필터를 통과함에 따라 고주파 성분이 제거되어 반송파 주파수 근방의 성분만의 출력이 된다. 그림 2에 본 연구에서의 해석모델을 나타낸다.

본 논문에서 채용하는 대역통과 하드리미터의 변환특성 $g(\cdot)$ 는 다음식으로 나타내지며 이를 그림으로 나타내면 그림 3과 같다.

$$g(R_v) = \begin{cases} +1 & R_v > 0 \\ 0 & R_v = 0 \\ -1 & R_v < 0 \end{cases} \quad (1)$$

단, R_v 는 리미터 입력 $v(t)$ 의 폭락선
리미터 입력 $v(t)$ 의 폭락선을 $R_v(t)$, 위상을
 $\phi_v(t)$ 라고 하면 리미터의 입력 $v(t)$ 는

$$v(t) = R_v(t) \cos \{\omega_0 t + \phi_v(t)\} \quad (2)$$

위식에 대한 리미터 출력 $x(t)$ 는

$$x(t) = g[R_v(t)] \cos \{\omega_0 t + \phi_v(t)\} \quad (3)$$

단, ω_0 는 반송파의 각주파수이다.

III. MPSK 위성통신 시스템의 오율 해석

그림 2에서 신호 $s(t)$ 로서 MPSK(M -ary PSK)파를 가정한다. 송, 수신기에서의 동기는 완전하다고 가정하고, 수신기에서는 1심볼당 1개의 샘플을 취해 순시판정을 행한다고 한다. 또 대역통과 필터의 통과대역은 신호파를 왜곡시

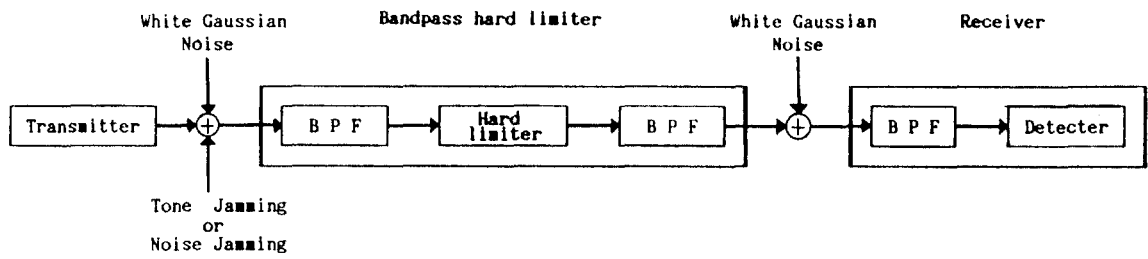


그림 1. 하드 라이미터형 중개기로 사용한 위성통신 시스템
Satellite communication system with hard limiter type transponder.

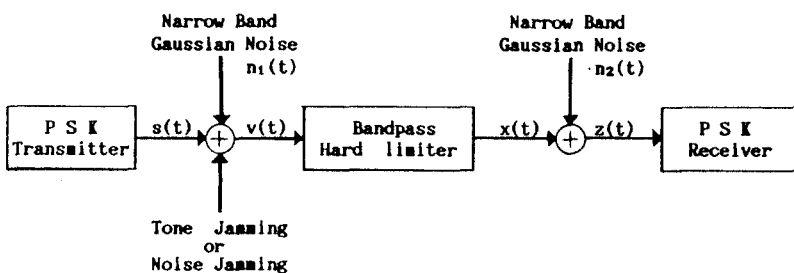


그림 2. 하드 라이미터형 중개기로 사용한 PSK 위성통신 시스템의 해석 모형
Analysis model of PSK satellite communication system with hard limiter type transponder.

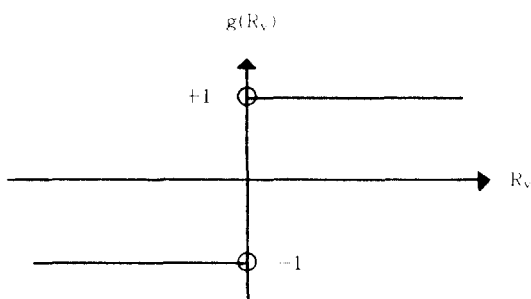


그림 3. 하드 라이미터의 입력-내 출력 특성
Input-output characteristic of hard limiter.

키지 않을 정도로 넓어서 주로 대역외의 잡음과 Jamming만을 제거한다고 가정한다.

그림 2에서 지구국으로부터 송신되는 MPSK 신호 $s(t)$ 는

$$s(t) = A \cos \{\omega_0 t + \theta_m(t)\} \quad (4)$$

위에서 A 는 반송파의 진폭이고, $\theta_m(t)$ 는 대체로 위상 변조신호로서

$$\theta_m(t) = 2\pi(N/M) \quad (5)$$

N, M 은 $0, 1, 2, \dots, M-1$ 중의 그 어느 하나의 값을 갖는다. 이하 본 해석에서는 일반성을 잠지 않는 범위내에서 θ_m 을 0이라고 가정한다.

우선, 업링크에 1개의 Tone Jamming과와 가우스잡음이 존재 할 때에는 다음과 같이 신호 $s(t)$ 에 협대역 가우스잡음 $n_1(t)$ 과 Tone Jamming 신호 $i_1(t)$ 가 더해져 그림 4의 페이저도에 나타낸 리미터 입력 $v(t)$ 를 구성한다.

$$v(t) = s(t) + n_1(t) + i_1(t) \quad (6)$$

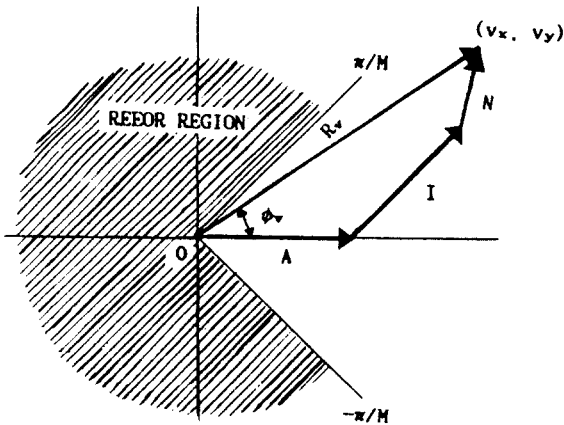


그림 4. 리미터 입력 $v(t)$ 의 합성 베이석도
Composite phasor diagram of limiter input $v(t)$.

위에서, $n_i(t)$ 은 평균값이 0이고 분산값이 σ_i^2 인 협대역 가우스 잡음으로서 다음과 같이 나타내진다.

$$\begin{aligned} n_i(t) &= N_i \cos(\omega_0 t + \theta_{ni}) \\ &= N_i \cos \theta_i \cos \omega_0 t - N_i \sin \theta_i \sin \omega_0 t \\ &= n_{ci} \cos \omega_0 t - n_{si} \sin \omega_0 t \end{aligned} \quad (7)$$

윗식에서 N_i 은 잡음 $n_i(t)$ 의 진폭포락선, θ_{ni} 은 반송파에 대한 잡음의 상대위상으로서 이의 확률밀도함수 $p(\theta_{ni})$ 는 $[0, 2\pi]$ 범위내에서 일양분포한다. 즉, $p(\theta_{ni}) = 1/(2\pi)$ 이다. 또, n_{ci} , n_{si} 는 각각 반송파와 동상 및 직교 성분으로서 서로 독립적이며 각각의 평균값은 모두 0이고 각각의 분산값은 모두 σ_i^2 이다.

일반적으로 대역통과 필터를 통과한 협대역 Tone Jamming파는 다음과 같이 나타내진다.

$$i(t) = I \cos(\omega_0 t + \theta_i) \quad (8)$$

윗식에서 I 는 Tone Jamming파의 포락선이고 θ_i 는 PSK신호에 대한 상대위상으로써 이의 확률밀도함수 $p(\theta_i)$ 는 $[0, 2\pi]$ 범위내에서 일양분포한다. 즉 $p(\theta_i) = 1/(2\pi)$ 이다. 다운링크에서는 리미터 출력 $x(t)$ 에 협대역 가우스 잡음 $n_2(t)$

가 더해져서 $z(t)$ 를 구성한다.

$$\begin{aligned} z(t) &= x(t) + n_2(t) \\ &= x(t) + N_2 \cos(\omega_0 t + \theta_{n2}) \\ &= R_z(t) \cos(\omega_0 t + \phi_z(t)) \end{aligned} \quad (9)$$

윗식에서 N_2 는 잡음 $n_2(t)$ 의 진폭포락선이고 θ_{n2} 는 반송파에 대한 잡음 $n_2(t)$ 의 상대위상이며 $p(\theta_{n2})$ 도 $p(\theta_{ni})$ 과 마찬가지의 값을 가진다. 또 $R_z(t)$ 는 다운링크 수신파 $z(t)$ 의 진폭포락선, $\phi_z(t)$ 는 수신합성위상이다.

수신합성위상 $\phi_z(t)$ 의 확률밀도함수 $p(\phi_z)$ 를 구하기 위해 우선, 리미터입력의 포락선 $R_v(t)$ 및 위상 $\phi_v(t)$ 의 결합확률밀도함수 $p(R_v, \phi_v)$ 을 가우스분포의 특성함수를 이용해서 아래와 같이 유도한다.

식 (7)에서의 $n_c(t)$ 및 $n_s(t)$ 의 확률밀도함수를 각각 $p(n_c)$, $p(n_s)$ 라고 하면 이들의 특성함수 $M_{nc}(\xi)$, $M_{ns}(\eta)$ 는 각각 다음과 같이 구해진다

$$\begin{aligned} M_{nc}(\xi) &= \int_{-\infty}^{+\infty} p(n_c) \exp(-j\xi n_c) dn_c \\ &= \exp(-\sigma_i^2 \xi^2 / 2) \end{aligned} \quad (10)$$

$$\begin{aligned} M_{ns}(\eta) &= \int_{-\infty}^{+\infty} p(n_s) \exp(-j\eta n_s) dn_s \\ &= \exp(-\sigma_i^2 \eta^2 / 2) \end{aligned} \quad (11)$$

이 식으로부터 $n_c(t)$, $n_s(t)$ 의 결합확률밀도함수 $p(n_c, n_s)$ 는 다음과 의해 구한다.

$$\begin{aligned} p(n_c, n_s) &= \frac{1}{4\pi^2} \int_{-\infty}^{+\infty} \int_{-\infty}^{+\infty} \exp(-\sigma_i^2 (\xi^2 + \eta^2) / \\ &\quad \cdot \exp(j(n_c \xi + n_s \eta)) d\xi d\eta \end{aligned} \quad (12)$$

간접파의 위상이 일정하다고 가정한 상태에서 대역통과 하드리미터 입력 $v(t)$ 를 반송파의 동상 (Inphase) 및 역상 (Quadrature phase) v_x 와 v_y 로 전개했을 경우의 v_x 와 v_y 의 조건부 결합확률밀도함수 $p(v_x, v_y)$ 를 구하면 윗식으로부터 다음과 같은 꼴이 된다.⁽⁸⁾⁽⁹⁾

$$p(v_x, v_y) = \frac{1}{4\pi^2} \int_{-\infty}^{\infty} \int_{-\infty}^{\infty} \exp(-\sigma_i^2(\xi^2 + \eta^2)/2) \cdot \exp(j\xi(v_x - A - I_1 \cos\theta_i + j\eta(v_y - I_1 \sin\theta_i))) d\xi d\eta \quad (13)$$

다음으로 v_x, v_y 의 직교좌표계로부터 R_v, ϕ_v 의 극좌표계로 좌표 변환을 행한 후 약간의 계산을 행하면 [부록 참조]

$$p(R_v, \phi_v) = \sum_{n=0}^{\infty} \sum_{k=0}^{\infty} \sum_{l=-n}^{n} \frac{\epsilon_m}{2\pi} \cos n\phi_v \cdot \frac{(-1)^l A^{n+2k+l} \Gamma(n+k+l+1)}{2^{2k+n} k! (l!)^2 \Gamma(n+1)} \cdot R_v \cdot \frac{(R_v / \sqrt{2 - \sigma_i^2})^n}{2(\sigma_i / \sqrt{2 - \sigma_i^2})^{n+2k+l+2} \Gamma(n+k+1)} \cdot {}_1F_1[n+k+l+1; n+1; -R_v^2 / (2\sigma_i^2)] \quad (14)$$

단,

$$\epsilon_m = \begin{cases} 1 : m=0 \\ 2 : m>0 ; \text{노이즈 계수(neumann factor)} \end{cases}$$

${}_1F_1(\cdot; \cdot; \cdot; \cdot)$: 합류형 초기하함수(Confluent hypergeometric function).

다음으로 $p(R_v, \phi_v)$ 는 R_v 에 대해 평균을 취하면

$$p(\phi_v) = \frac{1}{2\pi} + \sum_{n=0}^{\infty} \sum_{l=0}^{\infty} \frac{n}{2\pi \Gamma(n+1)} \cos n\phi_v \cdot \frac{(-1)^l \Gamma(n/2 + l)}{(l!)^2 \Gamma(n+1)} \cdot \alpha_1^{n/2 + l} \gamma_l^l \cdot {}_1F_1[n/2 + l; n+1; -\alpha_1] \quad (15)$$

단, $\alpha_1 (= A^2 / 2\sigma_i^2)$; 업링크 반송파 대 잡음전력비 (CNR 1)

$\gamma_l (= A^2 / 2l^2)$; 반송파 전력 대 Tone Jamming 전력비 (CJR)

리미터는 가치나온 합성 신호는 진폭이 일정하

고 위상은 ϕ_v 가 된다. 이 신호에 다운링크 잡음이 무가되어 $z(t)$ 가 된다. $z(t)$ 의 위상 ϕ_z 에 대한 확률밀도함수 $p(\phi_z)$ 는 위에서와 마찬가지의 방법으로 구할 수 있는데 단, 전폭에 대한 평균을 취할 필요가 없어진다. 따라서 다운링크에 잡음만이 존재할 때의 조건부 확률밀도함수 $p(\phi_z | \phi_v)$

$$p(\phi_z | \phi_v) = \frac{1}{2\pi} + \sum_{n=1}^{\infty} \frac{n}{2\pi \Gamma(n+1)} \cos n(\phi_v - \phi_z) \cdot \alpha_2^{n/2} \Gamma(n/2) {}_1F_1[\frac{n}{2}; n+1; -\alpha_2] \quad (16)$$

단, $\alpha_2 (= 1 / 2\sigma_i^2)$: 다운링크 반송파 대 잡음전력비 (CNR2)

$$\text{위 식으로부터 } p(\phi_z) \text{는} \\ p(\phi_z) = \int_{-\pi}^{\pi} p(\phi_z | \phi_v) p(\phi_v) d\phi_v \quad (17)$$

에 의해 구하여

$$Pe = 1 - \int_{-\pi}^{\pi} p(\phi_z) d\phi_z \quad (18)$$

이 용어로 암팅크에 Tone Jamming 하나와 잡음이 존재하고 다운링크에는 잡음만이 존재할 때의 오율식이 다음과 같이 구해진다.

$$Pe = 1 - \frac{1}{M} - \sum_{i=1}^M \frac{n \Gamma(n/2)}{2\pi \Gamma^2(n+1)} \sin(n\pi/M) \cdot \sum_{l=0}^{\infty} \alpha_1^{n/2+l} \frac{(-1)^l \Gamma(n/2 + l)}{(l!)^2} \cdot {}_1F_1(\frac{n}{2} + l; n+1; -\alpha_1) \cdot {}_1F_1(\frac{n}{2}; n+1; -\alpha_2) \quad (19)$$

위와 마찬가지 방법으로 업링크(Uplink)에 2개의 Tone Jamming과 잡음이 존재할 때의 오율식을 다음과 같이 구할 수 있다.

$$\begin{aligned}
 Pe = & 1 - \frac{1}{M} - \sum_{n=1}^{\infty} \frac{n}{2\pi} \frac{\Gamma(n/2)}{\Gamma^2(n+1)} \sin(n\pi/M) \\
 & \cdot \sum_{l_1=0}^{\infty} \sum_{l_2=0}^{\infty} \alpha_{1(n/2+l_1+l_2)} (-1)^{l_1+l_2} r_1^{-l_1-l_2} \\
 & \cdot \frac{\Gamma(n/2+l_1+l_2)}{(l_1!)^2(l_2!)^2} {}_1F_1\left(\frac{n}{2} + l_1 + l_2; n+1; -\alpha_1\right) \\
 & \cdot {}_1F_1\left(\frac{n}{2}; n+1; -\alpha_2\right) \quad (20)
 \end{aligned}$$

위의 식들로부터 업링크와 다운링크에 모두 잡음만이 존재할 때의 오율식은 다음과 같이 구해진다.

$$\begin{aligned}
 Pe = & 1 - \frac{1}{M} - \sum_{n=1}^{\infty} \frac{n}{2\pi} \frac{\Gamma^2(n/2)}{\Gamma^2(n+1)} \sin(n\pi/M) \\
 & \cdot {}_1F_1\left(\frac{n}{2}; n+1; -\alpha_1\right) \\
 & \cdot {}_1F_1\left(\frac{n}{2}; n+1; -\alpha_2\right) \quad (21)
 \end{aligned}$$

그리고, 업링크에 Noise Jamming과 잡음이 존재할 때의 오율식은 다음과 같이 구해진다.

$$\begin{aligned}
 Pe = & 1 - \frac{1}{M} - \sum_{n=1}^{\infty} \frac{n}{2\pi} \frac{\Gamma^2(n/2)}{\Gamma^2(n+1)} \sin(n\pi/M) \\
 & \cdot {}_1F_1\left(\frac{n}{2}; n+1; -\left(\frac{1}{1/\alpha + 1/\beta}\right)\right) \\
 & \cdot {}_1F_1\left(\frac{n}{2}; n+1; -\alpha_2\right) \quad (22)
 \end{aligned}$$

여기서, $\beta (= A^2 / 2\sigma_N^2)$: 방송파전력대 Noise jamming 전력비 (CJR)_N

한편, 문현[1]에 의하면 업링크에 하나의 Tone Jamming이 존재하고 다운링크에 가우스 잡음만이 존재할 때의 DS BPSK 신호의 오율식은 다음과 같다.

$$Pe = \frac{1}{\sqrt{\pi}} \int_{-\sqrt{2\sigma_{nd}}}^{\sqrt{2\sigma_{nd}}} (A_x/2 + R_1 + R_2) \exp(-t^2) dt$$

$$\begin{aligned}
 & = \frac{1}{2} \operatorname{erfc}\left[\frac{1}{\sqrt{2\sigma_{nd}}} (A_x/2 + R_1 + R_2)\right] \\
 & = \frac{1}{2} \operatorname{erfc}\left[\frac{\sqrt{P}}{\sqrt{2\sigma_{nd}}} (A_x/2 + R_1 + R_2)\right] \quad (23)
 \end{aligned}$$

단, $\frac{A_x^2}{2\sigma_{nd}^2}$: 다운링크의 신호전력대 잡음전력비
 A_x : 출력정보신호 성분

$R_1 = \frac{1}{2} \sum_{q=1}^Q A_{xq}^4$: 우수차 상호변조적 성분

$R_2 = \frac{1}{2} \sum_{q=1}^Q A_{xq}^2$: 기수차 상호변조적 성분

$P = \left[\frac{SS \text{ 신호의 대역폭}}{\text{정보신호의 대역폭}} \right]$: 처리이득 (Process Gain)

또한, 문현[2]에 의하면 업링크와 다운링크에 각각 가우스 잡음만이 존재할 때의 DS BPSK의 오율식은 다음과 같다.

$$Pe = \phi\left[\frac{\sqrt{2S}}{\eta_{tot}}\right] \quad (24)$$

단,

$$\phi(t) = \frac{1}{\sqrt{2\pi}} \int_t^{\infty} \exp(-t'^2/2) dt$$

$$S = [E(Z_{sx}(t))] T/2$$

$E(Z_{sx}(t))$: 출력출력정보신호 성분

$\eta_{tot} (= \eta_{nu} + \eta_{nd})$: 총잡음의 전력스펙트럼 밀도

$\eta_{nu} (= \sigma_{nu}^2 T)$: 업링크 잡음+상호변조성분의 전력스펙트럼 밀도

$\eta_{nd} (= \sigma_{nd}^2 T)$: 다운링크 잡음의 전력스펙트럼 밀도

IV. 검토 및 결론

그림 5는 업링크 CNR이 15dB, BPSK 및 QPSK 신호의 Tone Jamming과 Noise Jamming의 CJR이 각각 9dB, 13dB일 때의 오율특성의 수치계산 결과를 그래프로 나타낸 것이다. 그림

그림 5는 그림 5에서 CNR1을 20dB로 증가시켰을 때의 오율그래프이고 그림 7은 그림 5에서 CJR을 각각 9dB, 13dB로 증가시켰을 때의 오율그래프이다. 그림 8은 CNR1이 15dB, CJR이 각각 13dB, 18dB인 때 QPSK 신호만의 오율특성을 나타낸 그래프이다.

그림 9은 CNR1을 13dB로 고정하고, CJR을 각각 5dB, 10dB, 15dB, 20dB로 변화시켰을 때의 오율특성과 문헌[2]에서의 결과인 차리아누의 값의 변화에 따른 오율특성을 함께 나타낸 그래프이다. 그림 10은 CJR을 10dB로 고정하고 CNR1을 각각 5dB, 10dB, 15dB, 20dB로 변화시켰을 때의 오율특성과 문헌[1]에서의 결과인 차리아누의 값의 변화에 따른 오율특성을 함께 나타낸 그래프이다.

이들로부터

(1) BPSK 시스템보다 QPSK 시스템이 Jamming으로부터 받는 영향이 심하다는 것을 알 수 있다. Tone Jamming의 영향은 임렁과 CNR1이나 Tone Jamming CJR을 증가시킴으로써 어느정도 줄일 수 있지만 Noise Jamming의 영향은 CNR1을 증가시킬 것보다는 CJR을 증가시켜야 효과적으로 그 영향을 줄일 수 있다는 것을 알 수 있다.(그림 5,6,7 참조)

(2) QPSK 시스템에서 CJR을 증가시킴으로서 Tone Jamming과 Noise Jamming에 의한 영향을 어느정도 줄일 수 있음을 알 수 있다.(그림 8 참조)

(3) 임렁과 CNR1이 13dB이고 CJR이 20dB정도로 높을 경우, 문 해석의 BPSK의 오율특성은 DS-BPSK에서의 $P=1$ 인 경우와 같음이 확인되었다. DS-BPSK에서 차리아누를 증가시키는데 따른 오율의 개선의 정도를 알 수 있다.(그림 9 참조)

(4) CJR을 고정시킨 상태에서는 CNR1을 증가시키는데 따른 오율개선의 폭은 차이나 차리아누를 높이는데 따라시는 상당한 오율개선이 이루어 진다는 것을 알 수 있다.(그림 10 참조)

이상의 것으로부터 Tone Jamming의 영향은 CJR을 높이는 것보다는 차리아누를 증가시킴으

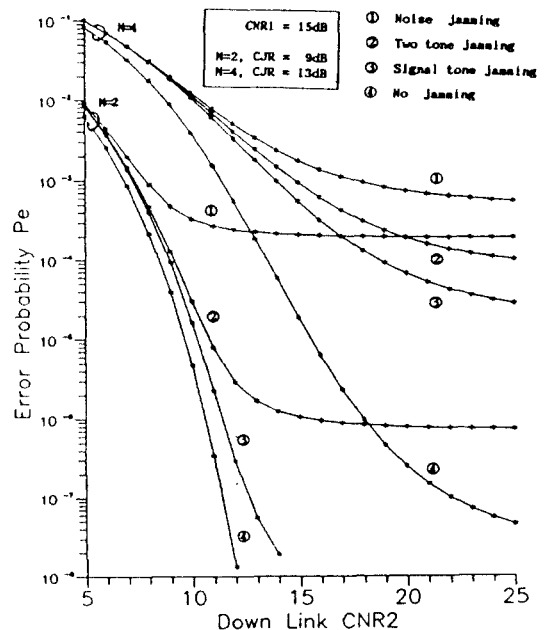


그림 5. BPSK와 QPSK의 오율특성 비교 (CNR1=15dB, CJR=9dB, 13dB)
The error rate performance of BPSK and QPSK,

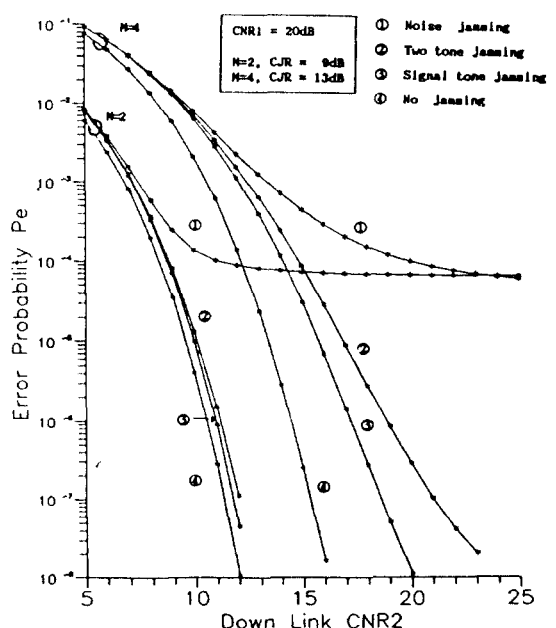


그림 6. BPSK와 QPSK의 오율특성 비교 (CNR1=20dB, CJR=9dB, 13dB)
The error rate performance of BPSK and QPSK.

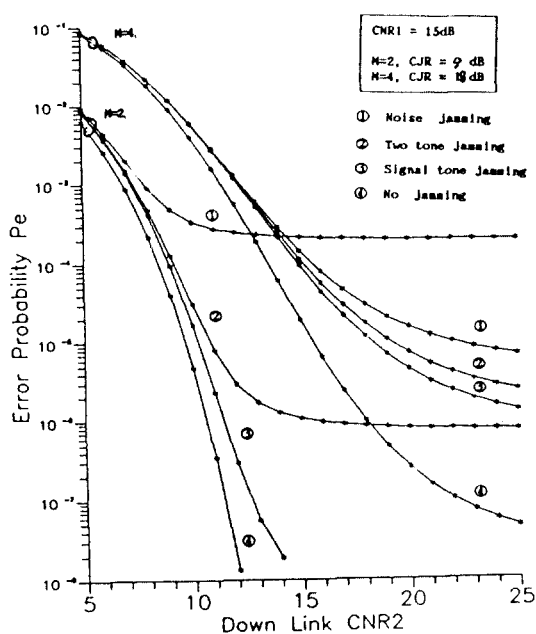


그림 7. BPSK와 QPSK의 오류율 성능 (CNR1=15dB, CJR=9dB,18dB)
The error rate performance of BPSK and QPSK.

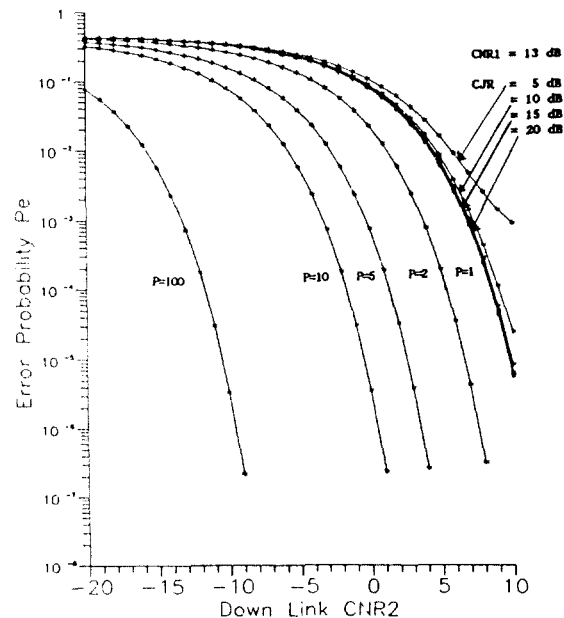


그림 9. 비선형 해설에 있어서 DS-BPSK 차리아률의 영향
(CNR1=13dB, CJR=5,10,15,20dB)
Effects of the process gain of DS-BPSK.

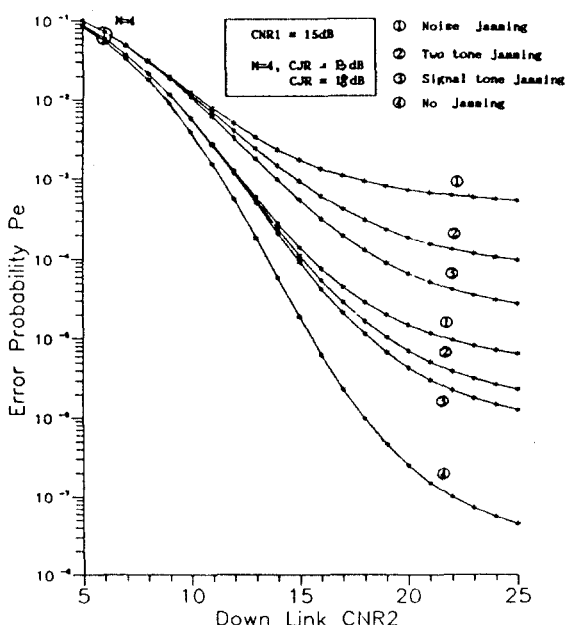


그림 8. QPSK의 오류율 성능 (CNR1=15dB, CJR=13dB,18dB)
The error rate performance of QPSK.

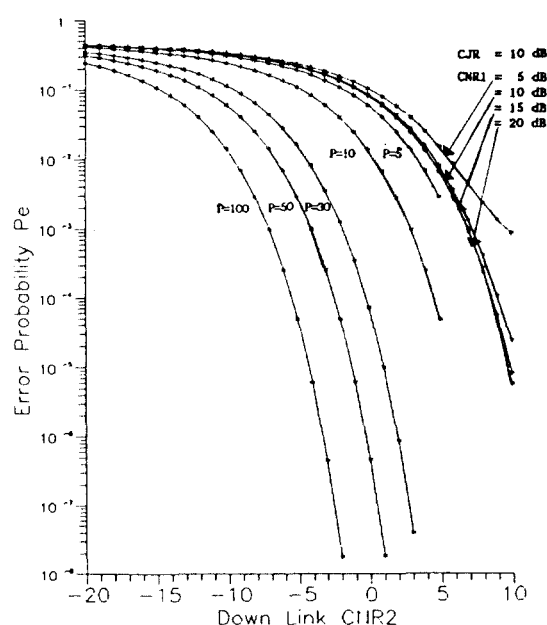


그림 10. 비선형 해설에 있어서 DS-BPSK 차리아률의 영향
(CNR1=5,10,15,20dB, CJR=10dB)
Effects of the process gain of DS-BPSK.

로써 크게 줄일 수 있음을 알 수 있다. Tone Jamming에서는 낮은 CJR 범위에서 CJR의 변화에 따라 다소의 오율개선이 일어지지만, CJR이 약 10dB 이상에서는 오율개선을 크게 기대할 수 없고 약 20dB 정도가 되면 오율개선을 거의 기대할 수 없다.

따라서 Jamming에 의한 위상통신 신호의 성능영화에 대한 대책이 필요하다는 것과 이의 개선 방법으로는 2차변조 방식으로서 스펙트럼 확산 통신방식의 도입이 요구된다.

[부록]

식(14)의 유도

본문의 식 (13)에서 v_x, v_y 는 R_v, ϕ_v 로 변화하고, 다시

$$\xi = \rho \cos \xi, \eta = \rho \sin \xi \quad (A-1)$$

단, $\rho \geq 0, 0 \leq \xi \leq 2\pi$

로 놓아 적분변수를 ξ, η 에서 ρ, ξ 로 변화하면 $R_v(t), \phi_v(t)$ 의 조건부 확률밀도함수는 다음과 같이 일어진다.

$$p(R_v, \phi_v | I_0, \theta_0) = \frac{R_v}{4\pi^2} \int_{-\infty}^{\infty} \int_{-\infty}^{\infty} \rho \exp\left[-\frac{\sigma_1^2 \rho^2}{2}\right] \cdot \exp[j\rho(R_v \cos(\xi - \phi_v) - A \cos \xi - I_0 \cos(\xi - \theta_0))] d\xi d\rho \quad (A-2)$$

윗 식에서 $\theta_0 \in [0, 2\pi]$ 범위내에서 일정분포하고 있으므로 이 식을 θ_0 에 대해서 정적을 취하면

$$p(R_v, \phi_v) = \frac{R_v}{4\pi^2} \int_{-\infty}^{\infty} \rho \exp\left[-\frac{\sigma_1^2 \rho^2}{2}\right] \cdot J_0(I_0 \rho) \cdot \int_{-\infty}^{\infty} \exp[j\rho(R_v \cos(\xi - \phi_v) - A \cos \xi)] d\xi d\rho \quad (A-3)$$

여기서

$$\frac{1}{2\pi} \int_0^{2\pi} \exp[j\rho I_0 \cos(\xi - \theta_0)] d\theta_0 = J_0(I_0 \rho)$$

$J_0(\cdot)$: 제1종 0차 베셀 함수(Bessel function)

그리고 식 (A-3)에서 $\exp[j\rho R_v \cos(\xi - \phi_v)]$ 및 $\exp[-j\rho A \cos \xi]$ 을 후리에급수로 전개하여 ξ 에 대해서 적분한후 적분과 합의 순서를 교환하면 다음과 같이 된다.

$$p(R_v, \phi_v) = \frac{R_v}{2\pi} \sum_{k=0}^{\infty} \epsilon_k \cdot \cos k \phi_v \cdot \int_{-\infty}^{\infty} \exp\left[-\frac{\sigma_1^2 \rho^2}{2}\right] J_{k+1}(I_0 \rho) J_k(A \rho) J_k(R_v \rho) d\rho \quad (A-4)$$

$J_l, J_k(\cdot)$: 제1종 k차 베셀함수

다음의 관계식을 이용하여⁽¹⁰⁾

$$\left[\frac{W}{2} + a \right] J_a(w) = \sum_{i=0}^{\infty} \frac{(-1)^i (w/2)^{2i}}{i! \Gamma(a+i+1)}$$

$p(R_v, \phi_v)$ 은 다시쓰면

$$p(R_v, \phi_v) = \sum_{n=0}^{\infty} \epsilon_n \cdot \cos k \phi_v \cdot \sum_{i=0}^{\infty} \sum_{l=0}^{\infty} \frac{(-1)^{n+l} A^{k+2n}}{2^{2l} n! l! \Gamma(k+n+1)} \cdot \frac{1}{(l!)^2} \int_0^{\frac{W}{2}} R_v \rho^{2l+n+k+1} \exp\left[-\frac{\sigma_1^2 \rho^2}{2}\right] J_k(R_v \rho) d\rho \quad (A-5)$$

$\Gamma(\cdot)$: 감마함수(Gamma function)

다음의 Bessel 적분관계식을 이용하여⁽¹⁰⁾

$$\int_0^{\infty} J_v(at) \exp(-pt^2) t^{u-1} dt = \frac{1}{2} F_1 \left[v/2 + u/2 ; v+1 ; -1/4p^2 \right] \cdot \frac{(v/2 + u/2)(a/2p)^v}{p^u \Gamma(v+1)}$$

식 (A-5)를 변형하면 본문의 식 (14)가 얻어진다.

이 논문은 1989년도 문교부 학술연구 조성비에 의하여 연구되었습니다.

참 고 문 헌

1. 김언곤, 신동일, 조성준, “위성채널을 통한 DS-BPSK 신호의 전송특성,” 한국항공대학 논문집, 제 24집 1986.8,
2. 신동일, 조성준, “간섭과 잡음이 존재하는 Hardlimiting 위성채널상에서의 DS-BPSK 신호의 오율 특성,” 한국통신학회지 vol.11, no.1, 1986.2.
3. P.C. Jain and N.M. Blachman, “Detection of PSK signal transmission through a hard limited channel,” IEEE Trans. Inf. Theory, vol. IT-19, no. 5, pp.623-630, Sept. 1973.
4. T. Mizuno, N. Morinaga and T. Namekawa, “Transmission characteristics of an M-ary coherent PSK signal via cascaded of N bandpass hard limiter,” IEEE Trans. Commun., COM-24, no. 5, pp. 540-545, May. 1976.
5. G. Satoh and T. Mizunon, “Impact of a new TWT linearizer upon QPSK / TDMA transmission performance,” IEEE J. Sel. Areas Commun., SAC-1, no. 1, pp.39-45, Jan. 1983.
6. A.S. Rosenbaum, “PSK error performance with gaussian noise and interference,” Bell Syst. Tech. J., vol. 48, no. 2, pp. 413-422, Feb. 1969.
7. J. Goldman, “Multiple error performance of PSK systems with cochannel interference and noise,” IEEE Trans. Commun., vol. Com-19, no. 4, pp. 420-430, Aug. 1971.
8. 浦部嘉夫, 森永親彦, 非線形 中継器を介した PSK 衛星通信系における 誤り率特性の解析, 信學論(B), J72 B-II, 3, pp. 89-95, Mar. 1989.
9. 강영홍, 조성언, 조성준, “미선행 위성통신 시스템의 오율특성에 미치는 방해전파의 영향,” 한국통신학회 추계학술발표회 논문집, pp.255-260, 1989. 11.
10. W. Magnus, “F. Oberhettinger, and R.P. Soni, *Formulas and theorems for the special functions of mathematical physics*, 3rd ed, 1966.



姜榮興(Young Heung KANG) 正會員
1960年9月24日生
1980年3月～1984年2月：韓國航空大學
航空通信工學科卒業（12學期）
1984年3月～1986年2月：韓國航空大學
大學院 航空電子工學科卒業（1學位碩士）
1988年3月～1990年3月：韓國航空大學
航空通信情報工學科 助教
1989年3月～現在：韓國航空大學大學院
航空電子工學科 博士課程
1990年4月～現在：國立群山大學校
情報通信工學科 專任講師



趙誠彦(Sung Eon CHO) 正會員
1966年7月11日生
1985年3月～1989年2月：韓國航空大學
航空通信情報工學科 卒業
（1學位碩士）
1989年～現在：韓國航空大學 航空通信
情報工學科 大學院 博士課程 在學中



高 凤 震(Bong Jin KO) 正會員

1963年11月6日生
1982年3月~1986年2月：韓國航空大學
航空通信工學科卒業（工學
士）
1986年3月~1988年2月：韓國航空大學
大學院 航空電子工學科（工學
碩士）
1988年3月~1989年1月：韓國航空大學
航空電子工學科 助教
1990年3月~現在：韓國航空大學大學院
航空電子工學科博士課程



趙 成 傑(Sung Joon CHO) 正會員

1946年1月9日生
1965年4月~1969年2月：韓國航空大學
航空通信工學科卒業（工學
士）
1973年4月~1975年2月：漢陽大學校大
學院卒業（工學碩士）
1977年4月~1981年3月：大阪大學大學
院 通訊工學科卒業（工學博
士）
1969年4月~1972年7月：海軍技術將校
1972年8月~現在：韓國航空大學 航空
通信情報工學科 教授
本學會 理事



金 元 厚(Won Hoo KIM) 正會員

1935年2月1日生
1955年4月~1959年3月：韓國航空大學
航空電子工學科（空業）工學
士
1973年3月~1975年2月：漢陽大學校
大學院卒業（工學碩士）
1983年3月~1988年2月：慶熙大學校
大學院卒業（工學博士）
1964年10月~現在：韓國航空大學 航空
電子工學科 教授